

## Солитоны в двумерных и трехмерных кристаллах при ферми-резонансе оптических колебаний

© О.А. Дубовский, А.В. Орлов

Физико-энергетический институт,  
249020 Обнинск, Калужская обл., Россия

(Поступила в Редакцию 20 июля 1998 г.)

Показано, что в двумерных и трехмерных кристаллических системах типа сверхрешеток при ферми-резонансе колебаний граничащих кристаллов существуют солитонные возбуждения пикового, кратерного и темнового типов, найденные авторами ранее только в одномерных кристаллах. Приведено аналитическое решение для центральной части огибающих солитонов. Численный расчет дал совпадающие с аналитическим решением результаты в центральной части солитонов и показал наличие отсутствующих у одномерных кристаллов пульсаций огибающих на крыльях пиковых и кратерных солитонов в двумерных и трехмерных кристаллах.

В настоящее время ведутся экспериментальные и теоретические исследования нелинейных оптических колебаний в органических сверхрешетках с программируемым чередованием монослоев органических молекул, разрабатываются новые технологии изготовления многослойных сверхрешеток для нелинейных оптических устройств, которые в перспективе могут быть использованы для создания оптического компьютера [1–3]. В [4–6] обращено внимание на важную роль ферми-резонанса (ФР) оптических колебаний в контактирующих кристаллических плоскостях, при котором энергия  $\hbar\omega_C$  экситона в одной из плоскостей близка к суммарной энергии  $2\hbar\omega_B$  двух экситонов в соседней плоскости. В [6–9] было показано, что в таких системах, типа сверхрешеток, вдоль интерфейса могут распространяться специфические смешанные  $BB + C$  экситонные возбуждения (FRIM, Fermi Resonance Interface Modes) [6], эти квантовые и классические FRIM определяют бистабильность [7] и, возможно, генерирование нелинейных солитонных возбуждений — многочастичных комплексов из FRIM состояний [8–10]. При этом в [8–10] в предположении гладкости огибающих солитонов, дающем возможность использования соответствующих нелинейных дифференциальных уравнений второго порядка, для модельных одномерных кристаллических систем были получены солитонные решения с гладкими монотонными огибающими типа известного гиперболического косинуса. В работах авторов [11,12] при исследовании солитонных возбуждений FRIM типа в одномерных замкнутых кристаллических цепочках с возрастающей длиной было показано, что солитонные возбуждения того типа, который был найден ранее в [8–10] при решении соответствующих нелинейных дифференциальных уравнений второго порядка, являются отдельным элементом целого класса солитонных возбуждений, имеющих различные виды симметричных [11] и антисимметричных [12] огибающих. При этом в [11,12] было показано, что в отличие от [8–10] несущая частота солитона не является фиксированной величиной, а может с определенным порогом варьироваться при соответствующем изменении огибаю-

щей. Результаты работ [11,12] были использованы в последнее время в [13,14] уже при более глубоком исследовании солитонов различных типов, найденных в [11,12], с использованием соответствующих нелинейных дифференциальных уравнений второго порядка. В связи с усиливающимся интересом к найденным в [11,12] солитонным возбуждениям представляется необходимым теперь уже более детальное изучение этих возбуждений в реальных, экспериментально исследуемых кристаллических системах — на двумерных интерфейсах, в плоских сверхрешетках [10], в трехмерных кристаллах с ферми-резонансом мономеров [15] и т.д. Отметим, что ФР может также оказывать существенное влияние на спектры оптических и акустических многофононных колебаний в легких металлах типа бериллия [16].

В настоящей работе исследуются нелинейные возбуждения FRIM типа в реальных двумерных (2D) и трехмерных (3D) кристаллических системах. Рассматриваются, во-первых, 2D-системы двух контактирующих в сверхрешетке монослоев из молекул типа  $B$  и  $C$  при ФР оптических возбуждений в этих молекулах, или аналогичный по топологии монослой из органических молекул, в каждой из которых существует ФР внутримолекулярных оптических колебаний, и, во-вторых, 3D-кристаллы из таких же органических молекул. При дальнейшем развитии результатов работ [11,12], полученных для 1D-кристаллов, будет показано, что в 2D и 3D кристаллических системах также существует несколько типов солитонных возбуждений с принципиально различной формой огибающих. Солитоны так называемого "пикового" (peak, ( $p$ )) типа имеют максимум огибающей в центре и последующее уменьшение огибающей до нуля при удалении к крыльям солитона. Солитоны "кратерного" (crater, ( $c$ )) типа имеют в центре относительный минимум, затем максимум на ближайших узлах решетки и уменьшение огибающей до нуля при удалении от центра солитона. "Темновые" (dark, ( $d$ )) солитоны имеют абсолютный минимум в центре солитона и асимптотическое возрастание с осцилляциями при приближении на крыльях к конечному асимптоти-

ческому пределу. При этом на крыльях солитонов  $p$  и  $c$  типов для  $2D$  и  $3D$ , в отличие от солитонов, найденных в [11,12] для  $1D$ -систем, может наблюдаться тонкая структура. Отметим, что дополнительно исследовалась зависимость огибающих от несущей частоты колебаний и расстройки ФР. Расчеты показали, что при приближении несущей частоты к полосе одночастичных возбуждений и при уменьшении расстройки ФР происходит уменьшение амплитуды и уширение солитонов, и возможно макроскопическое описание с использованием соответствующих нелинейных дифференциальных уравнений второго порядка, что может быть актуально в связи с появлением в этом направлении ряда новых работ [13,14] и подготовкой интересных экспериментов.

Гамильтониан  $H$  кристаллической системы, состоящей из двух контактирующих двумерных монослоев молекул  $B$ - и  $C$ -типа или трехмерного кристалла из мономеров — молекул с ФР внутримолекулярных колебаний — имеет вид

$$H = H_C + H_B + H_{\text{int}}, \quad (1)$$

где  $H_C, H_B$  — гамильтонианы свободных экситонов  $C$ - и  $B$ -типа

$$\begin{aligned} H_C &= \sum_{\mathbf{n}} \hbar\omega_C c_{\mathbf{n}}^+ c_{\mathbf{n}} + \sum_{\mathbf{nm}} V_{\mathbf{nm}}^{(c)} c_{\mathbf{n}}^+ c_{\mathbf{m}}, \\ H_B &= \sum_{\mathbf{n}} \hbar\omega_B b_{\mathbf{n}}^+ b_{\mathbf{n}} + \sum_{\mathbf{nm}} V_{\mathbf{nm}}^{(b)} b_{\mathbf{n}}^+ b_{\mathbf{m}}. \end{aligned} \quad (2)$$

В (2)  $\mathbf{n} = (n_x, n_y)$  для  $2D$  и  $\mathbf{n} = (n_x, n_y, n_z)$  для  $3D$ -систем;  $b^+, c^+, b, c$  — Бозе-операторы рождения, уничтожения экситонов,  $V_{\mathbf{nm}}^{(c,b)}$  — матричные элементы операторов межмолекулярного взаимодействия, определяющие трансляционное движение  $c$  и  $b$  экситонов. Гамильтониан  $H_{\text{int}}$  ангармонического  $C + BB$  взаимодействия 3-го порядка в (1), определяющий эффект ФР, имеет вид

$$H_{\text{int}} = \Gamma \sum_{\mathbf{n}} \left[ (b_{\mathbf{n}}^+)^2 c_{\mathbf{n}} + c_{\mathbf{n}}^+ (b_{\mathbf{n}})^2 \right], \quad (3)$$

где  $\Gamma$  — константа этого взаимодействия. Детальное обсуждение такого вида гамильтониана  $H_{\text{int}}$  приводится в [6].

Уравнения Гейзенберга для операторов  $b_{\mathbf{n}}, c_{\mathbf{n}}$

$$i\hbar \frac{db_{\mathbf{n}}}{dt} = -[H, b_{\mathbf{n}}], \quad i\hbar \frac{dc_{\mathbf{n}}}{dt} = -[H, c_{\mathbf{n}}] \quad (4)$$

при взаимодействии ближайших соседей с учетом (1)–(3) имеют следующий вид:

$$i\hbar \frac{db_{\mathbf{n}}}{dt} = \hbar\omega_B b_{\mathbf{n}} + V_B \sum_{\mathbf{l}} b_{\mathbf{n}+\mathbf{l}} + 2\Gamma b_{\mathbf{n}}^+ c_{\mathbf{n}}, \quad (5a)$$

$$i\hbar \frac{dc_{\mathbf{n}}}{dt} = \hbar\omega_C c_{\mathbf{n}} + V_C \sum_{\mathbf{l}} c_{\mathbf{n}+\mathbf{l}} + \Gamma b_{\mathbf{n}}^2, \quad (5b)$$

$$V_{\mathbf{nm}}^{(b,c)} = V_{B,C} \delta_{\mathbf{n},\mathbf{m}+\mathbf{l}}. \quad (5c)$$

Для описания нелинейных оптических возбуждений с большими числами заполнения при сильной лазерной накачке обычно используется квазиклассическое приближение, в рамках которого все операторы в (5) заменяются их средними значениями  $\langle b_{\mathbf{n}} \rangle \equiv B_{\mathbf{n}}, \langle c_{\mathbf{n}} \rangle \equiv C_{\mathbf{n}}$ , где  $B_{\mathbf{n}}, C_{\mathbf{n}}$  — амплитуды колебаний [6–12]. Будем искать решения системы уравнений для  $B_{\mathbf{n}}, C_{\mathbf{n}}$ , соответствующей (5), с временной зависимостью  $B_{\mathbf{n}} = B_{\mathbf{n}} \exp(-i(\omega/2)t), C_{\mathbf{n}} = C_{\mathbf{n}} \exp(-i\omega t)$  при действительных амплитудах  $B_{\mathbf{n}}, C_{\mathbf{n}}, \omega$  — несущая частота. При такой временной зависимости система уравнений для  $B_{\mathbf{n}}, C_{\mathbf{n}}$  имеет вид

$$\frac{\hbar\omega}{2} B_{\mathbf{n}} = \hbar\omega_B B_{\mathbf{n}} + V_B \sum_{\mathbf{l}} B_{\mathbf{n}+\mathbf{l}} + 2\Gamma B_{\mathbf{n}} C_{\mathbf{n}}, \quad (6a)$$

$$\hbar\omega C_{\mathbf{n}} = \hbar\omega_C C_{\mathbf{n}} + V_C \sum_{\mathbf{l}} C_{\mathbf{n}+\mathbf{l}} + \Gamma B_{\mathbf{n}}^2. \quad (6b)$$

Нетрудно видеть, что решения системы уравнений (6)  $B_{\mathbf{n}}, C_{\mathbf{n}}$  зависят от параметра  $\Gamma$  и  $\hbar$  как от масштабных множителей, и поэтому естественно ввести имеющие размерность частоты величины  $b_{\mathbf{n}} = (\Gamma/\hbar)B_{\mathbf{n}}, c_{\mathbf{n}} = (\Gamma/\hbar)C_{\mathbf{n}}$ . Для этих величин система соответствующих (6) уравнений имеет вид

$$\frac{\omega}{2} b_{\mathbf{n}} = \omega_B b_{\mathbf{n}} + \frac{V_B}{\hbar} \sum_{\mathbf{l}} b_{\mathbf{n}+\mathbf{l}} + 2b_{\mathbf{n}} c_{\mathbf{n}}, \quad (7a)$$

$$\omega c_{\mathbf{n}} = \omega_C c_{\mathbf{n}} + \frac{V_C}{\hbar} \sum_{\mathbf{l}} c_{\mathbf{n}+\mathbf{l}} + b_{\mathbf{n}}^2. \quad (7b)$$

В [8–10] для одномерной системы аналитически было найдено солитонное решение системы уравнений (5) с огибающей известного вида — обратного гиперболического косинуса. При этом были найдены солитоны локализованного типа — ”стоячие” солитоны — с нулевой скоростью перемещения максимума солитона  $v = 0$  и бегущие солитоны с  $v \neq 0$ . Как следствие априорно предполагаемой гладкости огибающих и пропорциональности  $B$  и  $C$  амплитуд несущие частоты и скорости солитонов оказывались фиксированными величинами, определяемыми параметрами, входящими в (1)–(3). Далее будет показано, что в рассматриваемых двумерных и трехмерных кристаллах могут распространяться несколько солитонов различного типа. При этом в первую очередь рассматривались локализованные, ”стоячие” солитоны.

На первом этапе исследовались азимутально и сферически симметричные солитонные решения. Соответственно последовательно рассматривались квадратные и кубические кластеры с выделенным центральным узлом и возрастающими нечетными полными числами узлов  $N = N_2$  и  $N = N_3$  соответственно для  $2D$ - и  $3D$ -систем. Для  $2D$ -систем —  $N_2 = 5, 9, 13, 21, \dots$ , для  $3D$ -систем —  $N_3 = 7, 19, 27, \dots$ , в соответствии с алгоритмом создания ближайших к центральному узлу окружностей и сфер с последовательно возрастающими радиусами. При этом радиальная зависимость амплитуд фиксируется одним индексом  $r$  по степени удаленности от центрального

узла. Для 2D-системы в дальнейшем в соответствии с этим принципом использовалась нумерация  $b_0 \equiv b_{0,0}$ ;  $b_1 \equiv b_{0,\pm 1} \equiv b_{\pm 1,0}$ ;  $b_2 \equiv b_{\pm 1,\pm 1}$ ;  $b_3 \equiv b_{\pm 2,0} \equiv b_{0,\pm 2}$ ;  $b_4 \equiv b_{\pm 2,\pm 1} \equiv b_{\pm 1,\pm 2}$ . Для 3D-системы использовалась нумерация  $b_0 \equiv b_{0,0,0}$ ,  $b_1 \equiv b_{\pm 1,0,0} \equiv b_{0,\pm 1,0} \equiv b_{0,0,\pm 1}$ ,  $b_2 \equiv b_{0,\pm 1,\pm 1} \equiv b_{\pm 1,0,\pm 1} \equiv b_{\pm 1,\pm 1,0}$  и т.д. При этом соответствующие радиус-векторы этих узлов равны для 2D-системы  $r_0 = 0$ ,  $r_1 = a$ ,  $r_2 = \sqrt{2}a$ ,  $r_3 = 2a \dots$ , для 3D-системы —  $r_0 = 0$ ,  $r_1 = a$ ,  $r_2 = \sqrt{2}a$ ,  $r_3 = \sqrt{3}a$  и т.д., где  $a$  — постоянная решетки. Величины  $r_i$  могут рассматриваться как радиусы соответствующих координационных окружностей (2D) или сфер (3D).

Для выделения основных аналитических особенностей огибающих солитонных возбуждений рассмотрим 2D-систему с наименьшим возможным числом узлов  $N_2 = 5$ . При этом уравнения (7) для  $b_n, c_n$  амплитуд имеют следующий вид:

$$\left(\frac{\omega}{2} - \omega_B\right) b_0 - 4 \frac{V_B}{\hbar} b_1 = 2b_0 c_0, \quad (\omega - \omega_C) c_0 - 4 \frac{V_C}{\hbar} c_1 = b_0^2, \quad (8a)$$

$$\left(\frac{\omega}{2} - \omega_B\right) b_1 - \frac{V_B}{\hbar} b_0 = 2b_1 c_1, \quad (\omega - \omega_C) c_1 - \frac{V_C}{\hbar} c_0 = b_1^2. \quad (8b)$$

Эта система уравнений имеет точные аналитические решения. Будем для упрощения анализа полагать  $V_A \equiv V_B \equiv \hbar V$ . Выражая из первых уравнений (8a), (8b)  $c = c(b)$  как функции  $b$ , после подстановки во вторые уравнения (8a), (8b) получаем два нелинейных связанных уравнения для  $b_0$  и  $b_1$

$$2b_0^2 = (\omega - \omega_C) \left(\frac{\omega}{2} - \omega_B\right) - V(\omega - \omega_C) \frac{4}{x} - 4V \left(\frac{\omega}{2} - \omega_B\right) + 4V^2 x, \quad (9a)$$

$$2b_1^2 = (\omega - \omega_C) \left(\frac{\omega}{2} - \omega_B\right) - V(\omega - \omega_C) x - 4V \left(\frac{\omega}{2} - \omega_B\right) + 4V^2 \frac{1}{x}, \quad (9b)$$

где  $x \equiv b_0/b_1$  — отношение амплитуд. Для величины  $x$  после деления (9a) на (9b) получаем уравнение 4-й степени

$$V(\omega - \omega_C)x^4 - (\omega - \omega_C - 4V) \left(\frac{\omega}{2} - \omega_B\right) x^3 + (\omega - \omega_C - 4V) \left(\frac{\omega}{2} - \omega_B\right) x - 4V(\omega - \omega_C) = 0. \quad (10)$$

Это уравнение имеет точные аналитические решения  $x = x_i(\omega)$  со сложной зависимостью  $x_i(\omega)$ . Однако для солитонных решений с сильной локализацией возбуждений можно найти аппроксимирующие решения. Для пиковых солитонов с  $x \gg 1$  в уравнении необходимо учесть только первые два члена. В результате для  $x = x_p$  получаем следующее выражение:

$$x_p = \frac{(\omega - \omega_C - 4V) \left(\frac{\omega}{2} - \omega_B\right)}{V(\omega - \omega_C)} > 1. \quad (11)$$

Для темнового солитона  $x \ll 1$ , в уравнении необходимо учесть только последние два члена и, соответственно, для  $x = x_d$  получаем

$$x_d = \frac{4V(\omega - \omega_C)}{(\omega - \omega_C - 4V) \left(\frac{\omega}{2} - \omega_B\right)} < 1. \quad (12)$$

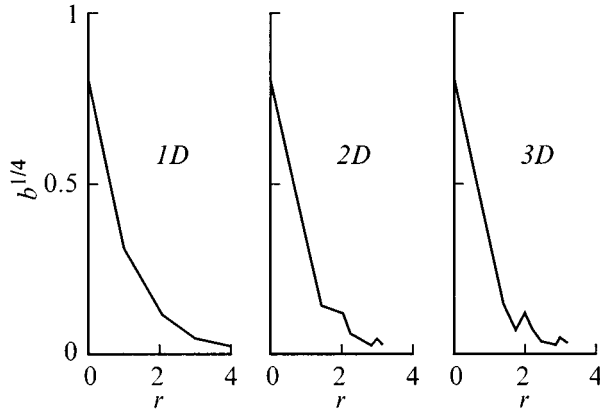
Наконец для солитонов кратерного типа с  $x \approx 1$  необходимо учитывать все члены, но можно произвести разложение по малому отклонению  $\delta$  величины  $x$  от единицы,  $x = 1 + \delta$ ,  $\delta \ll 1$ . В результате получаем для  $x = x_c$  следующее соотношение:

$$\delta = \frac{3V(\omega - \omega_C)}{4V(\omega - \omega_C) - 2(\omega - \omega_C - 4V) \left(\frac{\omega}{2} - \omega_B\right)} < 1, \quad x_c = 1 + \delta. \quad (13)$$

Неравенства в соотношениях (11)–(13) определяют области существования солитонов и соответствующие пороги. Величины  $b_0$  и  $b_1$  для солитонов всех трех типов получаются из соотношений (7) при использовании найденных при решении (9) значений  $x_p, x_d, x_c$ . Расчеты для 3D-системы с минимальным числом узлов  $N_3 = 7$  аналогичные (8)–(13) дают такие же соотношения для амплитуд с небольшими численными поправками. Как показали дальнейшие расчеты, при увеличении  $N$  происходит только наращивание крыльев этих солитонов с базовыми значениями  $b_0, b_1$ , полученными таким образом. Вместе с тем далее будет отмечено, что у крыльев солитонов в 2D- и 3D-системах появляется определенная, отсутствующая у 1D-солитонов [11,12], немонотонность с замедлением спада и локальными максимумами.

Аналитические расчеты огибающих солитонов для систем с  $N_2 > 5$ ,  $N_3 > 7$  являются достаточно сложной задачей, поэтому для таких систем на PC PENTIUM были проведены численные расчеты решений системы нелинейных уравнений для  $b_n$ , полученных из (7) после подстановки в (7b)  $c_n = c_n(b_{\{m\}})$  как функций  $b_n$  и ближайших  $b_m$ . Сами уравнения здесь не приводятся из-за громоздкой нелинейной связи  $c_n$  с различными  $b_m$ . Расчеты велись параллельно для 1D-, 2D- и 3D-систем. При этом в 1D-системе, соответствующей одномерному кластеру, расчеты велись до 7-го узла, удаленного от центрального на расстояние  $7a$ , в 2D-системе — до 8-й координационной окружности, в 3D-системе — до 10-й координационной сферы. На рис. 1, 2, 3 для 1D-системы для сравнения с 2D- и 3D-системами приведены только центральные части огибающих до  $n = 4$ . Различное число координационных сфер и окружностей было использовано для отслеживания пульсаций на крыльях солитонов при различных  $r$ .

На рис. 1, 2, 3 приведены результаты расчетов радиальной зависимости огибающих  $b_r$  для солитонов  $p$  — пикового типа (рис. 1),  $c$  — кратерного типа (рис. 2), и  $d$  — темнового типа (рис. 3). Отметим, что значения радиусов  $r$  для систем различной размерности отличаются: в 1D-системе —  $r = r_i = ia$ , в

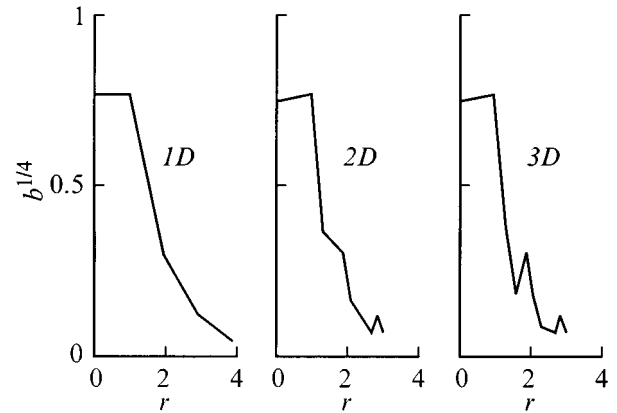


**Рис. 1.** Радиальная зависимость огибающих солитонов пикового типа в 1D, 2D, 3D кристаллических системах.

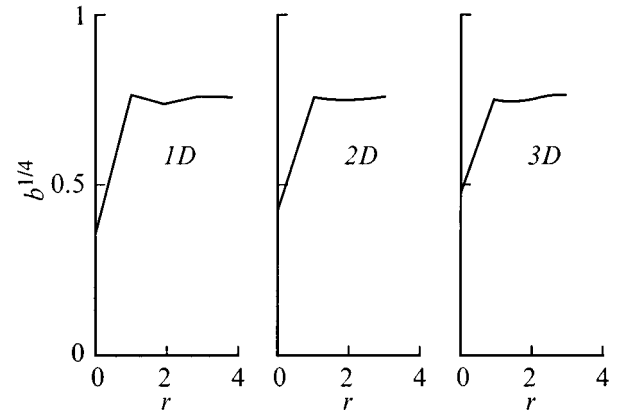
2D-системе —  $r = r_{ij} = (i^2 + j^2)^{1/2}a$ , в 3D-системе —  $r = r_{ijk} = (i^2 + j^2 + k^2)^{1/2}a$ , где индексы  $i, j, k$  нумеруют узлы кристалла. Поскольку для некоторых из полученных зависимостей  $b_r$  значения функции при разных  $r$ ,  $0 \leq r \leq 7$ , различаются на 5–10 порядков, для визуального восприятия результатов на рис. 1, 2, 3 представлена зависимость от  $r$  функции  $(b_r)^{1/4}$ , монотонно отображающей  $b_r$  с относительным увеличением малых значений функции и относительным уменьшением больших значений функции. Все частотные характеристики выражались в единицах  $\omega_C$ . Значения параметров выбирались близкими к реальным оптическим параметрам  $V_B/\hbar\omega_C = V_C/\hbar\omega_C = 0.01$ ,  $\omega_B/\omega_C = 0.4$ , использованным в [4,9–12]. В [11,12] отмечалось, что для несущей частоты в 1D-системах существуют пороговые  $\omega$ , при превышении которых появляются солитоны различного типа. Аналогичная ситуация наблюдается в 2D- и 3D-кристаллах. При используемых параметрах нижние пороговые значения несущей частоты  $\omega = \omega_0$ , при которых появляются  $d$ - и  $c$ -солитоны, равняются в 1D-системе  $\omega_0/\omega_C \cong 1.02$ , в 2D-системе —  $\omega_0/\omega_C \cong 1.14$ , в 3D-системе —  $\omega_0/\omega_C \cong 1.54$ . Для одновременного графического представления 1D-, 2D- и 3D-системы выбиралось значение параметра  $\omega/\omega_C = 1.7$ . На рис. 1 видно, что в отличие от 1D огибающие  $p$ -солитона для 2D- и 3D-систем имеют локальные максимумы и замедление спада при определенных значениях  $r$ . Эти значения  $r$  отвечают точкам на кристаллографических осях  $(i, 0)$ ,  $(0, i)$ ,  $i = 2, 3 \dots$  в 2D-системе. В 3D-системе локальные максимумы наблюдаются в точках  $(i, j, 0)$ ,  $(i, 0, j)$ ,  $(0, i, j)$ ,  $i, j = 2, 3 \dots$ . Значения огибающих в точках  $(i, 0)$ ,  $(0, i)$  2D-системы  $b_r = b_{i,0} = b_{0,i}$  и в точках  $(i, 0, 0)$ ,  $(0, i, 0)$ ,  $(0, 0, i)$  3D-системы  $b_r = b_{i00} = b_{0i0} = b_{00i}$  близки к значениям огибающей  $b_r = b_i$  в 1D-системе. Значения огибающей  $b_r = b_{ij0} = b_{i0j} = b_{0ij}$  в 3D-системе близки к значениям  $b_r = b_{ij}$  в 2D-системе. Последнее связано с чрезвычайно малым значением  $V/\hbar\omega_C = 0.01$  для оптических систем, большим удалением  $\omega$  от  $\omega_C$ ,

большой расстройкой ферми-резонанса  $\omega_C - 2\omega_B$ , но при больших  $V$ , меньших удалениях  $\omega$  от  $\omega_C$ , меньших расстройках ФР эти значения различаются более существенно. Проведенные качественные аналитические расчеты показали, что отмеченные выше локальные максимумы и замедления спада на огибающих связаны с тем обстоятельством, что, например, в 2D-системе молекула с  $r = 6$  взаимодействует с молекулой нижней координационной окружности  $r = 3$  и соответственно ее амплитуда возрастает по сравнению с амплитудой молекулы  $r = 5$ , взаимодействующей с молекулой  $r = 4$ . Такие же ситуации наблюдаются и в других случаях, в 2D- и 3D-кристаллах.

На рис. 2, представляющем кривые огибающих  $c$ -солитона, видно, что при  $r = 0$  значения амплитуд в центре для 1D-, 2D-, 3D-систем находятся в отношении  $b_0 > b_{00} > b_{000}$  (в прежней индексации). Начиная со следующей координационной окружности, или сферы,  $r = 1$ , т.е. на спадающем участке зависимостей  $b_r$ , поведение огибающих  $c$ -солитона имеет те же особенности, что и поведение огибающих  $p$ -солитона. При этом, однако, пульсации на крыльях солитонов имеют большие по сравнению с рис. 1 амплитуды.



**Рис. 2.** Радиальная зависимость огибающих солитонов кратерного типа в 1D, 2D, 3D кристаллических системах.



**Рис. 3.** Радиальная зависимость огибающих солитонов темного типа в 1D, 2D, 3D кристаллических системах.

На рис. 3, представляющем кривые огибающих  $d$ -солитона, видно, что для  $r = 0$  величины  $b_0 < b_{00} < b_{000}$ , а для  $r = 1$  величины огибающих находятся в противоположном соотношении  $b_1 > b_{10} > b_{100}$ . На участке зависимости  $r > 1$  кривые огибающих  $d$ -солитона имеют минимум, а затем выходят асимптотически на постоянное конечное значение, и, таким образом, в  $2D$ - и  $3D$ -системах наблюдается та же закономерность, что и отмеченная в  $1D$ -системе в работе [11].

Отметим также, что полученные численные значения огибающих  $p$ -,  $c$ -,  $d$ -солитонов  $2D$ -системы в центральной точке и первой координационной окружности совпадают, с малой погрешностью, со значениями, полученными из аналитических соотношений (10)–(13), что служит одновременным подтверждением применимости как использованных численных программ, так и аналитических процедур соответствующих разложений.

Отметим, что представленные радиальные зависимости  $b_r$  дают только ориентирующее визуальное представление о действительном структурировании по кристаллографическим направлениям естественно более богатой пространственной зависимости амплитуд колебаний в  $2D$  и  $3D$  кристаллических решетках. Представляют интерес уже развивающиеся исследования азимутальной зависимости огибающих солитонов [13,14] и начинающиеся экспериментальные исследования в этой области. В статье основное внимание уделялось пиковым, кратерным и темновым солитонам. Необходимо, по-видимому, провести аналогичные исследования и для солитонов качественно других типов, впервые исследованных в работах авторов [11,12].

В заключение авторы выражают искреннюю признательность В.М. Аграновичу за полезные замечания.

Работа выполнена при поддержке Российской государственной научно-технической программы "Актуальные направления в физике конденсированных сред" по направлению "Нейтронные исследования вещества". (О.А.Д.) благодарит за частичную поддержку по гранту Фольксваген Фонда I/69928.

## Список литературы

- [1] F.F. So, S.R. Forrest, Y.Q. Shy, W.H. Steier. Appl. Phys. Lett. **56**, 7, 674 (1990).
- [2] F.F. So, S.R. Forrest. Phys. Rev. Lett. **66**, 20, 2649 (1991).
- [3] V.M. Agranovich. Mol. Liq. Cryst. **230**, 1, 13 (1993).
- [4] V.M. Agranovich, R.D. Atanasov, G.F. Bassani. Chem. Phys. Lett. **199**, 6, 621 (1992).
- [5] V.M. Agranovich. Physica Scripta **T49**, 5, 699 (1993).
- [6] V.M. Agranovich, O.A. Dubovsky. Chem. Phys. Lett. **210**, 4–6, 458 (1993).
- [7] V.M. Agranovich, J.B. Page. Phys. Lett. **A183**, 5/6, 651 (1993).
- [8] В.М. Агранович, А.М. Камчатнов. Письма в ЖЭТФ **59**, 6, 397 (1994).
- [9] V.M. Agranovich, O.A. Dubovsky, A.M. Kamchatnov. J. Phys. Chem. **98**, 51, 13 607 (1994).
- [10] V.M. Agranovich, S.A. Darmanyan, O.A. Dubovsky, A.M. Kamchatnov, E.I. Ogievetsky, P. Reineker, Th. Neidlinger. Phys. Rev. **B53**, 23, 15 451 (1996).
- [11] О.А. Дубовский, А.В. Орлов. ФТТ **38**, 4, 1221 (1996).
- [12] О.А. Дубовский, А.В. Орлов. ФТТ **38**, 6, 1931 (1996).
- [13] S. Darmanyan, A. Kobayakov, F. Lederer. Phys. Rev. **E57**, 2, 957 (1998).
- [14] V.M. Agranovich, S.A. Darmanyan, K.I. Grigorishin, A.M. Kamchatnov, Th. Neidlinger, P. Reineker. Phys. Rev. **B57**, 26, 2461 (1998).
- [15] В.М. Агранович, Й.Й. Лалов. УФН **146**, 2, 267 (1985).
- [16] О.А. Дубовский, А.В. Орлов. ФТТ **39**, 3, 542 (1997).